hsa_circ_0006411 慢病毒载体的构建及验证

卢 韬 董学君

摘 要 目的 构建环状 RNA hsa_circ_0006411 慢病毒载体,作为研究其在肺癌细胞的功能学实验的基础。方法 以人细胞混合样本 cDNA 为模板扩增环状 RNA circ_0006411, EcoR I 和 BamH I 双酶切连接到 pLC5 - ciR 载体中,转化感受态细胞,并测序阳性菌落产物;将得到的 pLC5 - circ_0006411 - GFP 载体转染 293T 细胞,40h 后观测 GFP 的表达,并收集细胞 PCR 扩增circ_0006411 基因,以 pLC5 - ciR 空载体和空白组做对照。结果 测序结果与 hsa_circ_0006411 序列一致,且环化接头位点也与circbase 中的位点一致;pLC5 - circ_0006411 - GFP 载体转染 293T 细胞组 circ_0006411 相对表达量明显增高于另外两组,且绿色荧光蛋白表达。结论 成功构建了环状 hsa_circ_0006411 载体,能稳定转染 293T 细胞,可用于后续细胞实验。

关键词 环状 RNA circ_0006411 慢病毒载体

中图分类号 R446

文献标识码 A

DOI 10. 11969/j. issn. 1673-548X. 2020. 10. 020

Construction and Validation of hsa_circ_0006411 Lentivirus Vector. Lu Tao, Dong Xuejun. Shaoxing People's Hospital, Zhejiang 312000, China

Abstract Objective To study the function of a human circular RNA (hsa_circ_0006411) throng constructing a circular RNA hsa _circ_0006411 lentivirus vector. Methods Hsa_circ_0006411 were amplified from human cell mixed sample cDNA by PCR, and then linked to the PLC5 - CIR vector, transformed into the receptive cells. The 293T cells were transfected with hsa_circ_0006411 - GFP vector, and the expression of GFP was observed 40 hours later. The hsa_circ_0006411 gene was amplified by PCR and compared with the blank contral group. Results The results of sequencing were consistent with sequence of hsa_circ_0006411 in circbank webside. The relative expression of hsa_circ_0006411 in the group of 293T cells transfected with PLC5 - hsa_circ_0006411 was significantly higher than that in the other two groups, and the expression of green fluorescent protein was also significant. Conclusion The hsa_circ_0006411 vector was successfully constructed, which can stably transfect 293T cells and can be used in subsequent cell experiments.

Key words Circular RNA; circ_0006411; Lentivirus vector

非编码 RNA 是指一类不能编码蛋白质的 RNA 类型(近年来发现有些非编码 RNA 也具有编码肽功能),包括微小 RNA、长链非编码 RNA 和环状 RNA 等类型^[1,2]。环状 RNA 是由 mRNA 前体反向剪接产 生的闭合环状结构,虽然大多数不能编码蛋白质,但 却可以通过一系列机制调节相关基因的表达,来发挥 细胞学功能,在癌症中也具有重要的调控作用^[3]。 PIK₃R1 基因可编码 p85a 蛋白,作为磷脂酰肌醇 3 激 酶(phosphoinositide 3 - kinase, PI₃K)通路中 PI₃K 的 调节亚基,在诸如乳腺癌,宫颈癌等实体瘤中显著低 表达,其可与 PTEN 结合,从而增强 PTEN 的脂质磷 酸酶活性,发挥抑癌作用^[4-6]。本研究发现,来源于 PIK₃R1 母基因的环状 RNA(hsa_circ_0006411) 在多 种实体瘤组织中低表达,为了研究其功能,拟构建其

作者单位:312000 绍兴市人民医院

慢病毒载体,并验证实用性后,用于后续的细胞实验。

对象与方法

- 1. 试剂与仪器: In Fusion[®] HD 克隆试剂盒(日本 TaKaRa 公司), 胶回收试剂盒和质粒提取试剂盒(美国 Omega 公司), pLC5 ciR 载体(广州吉赛公司), RPMI1640 培养基(美国 Gibco 公司), 胎牛血清(美国 ExCell Bio 公司), 脂质体 2000(美国 Invitrogen 公司); 仪器主要有 PCR 仪(德国罗氏公司), 电泳仪(美国 Bio Rad 公司)和冷冻离心机等。
- 2. 载体构建及测序鉴定:(1)目的片段扩增:设计带有 EcoR I 和 BamH I 酶切位点的引物,序列见表 1,以人细胞混合样本 cDNA 为模板扩增环状 RNA hsa_circ_0006411,目的片段在 1.5% 的琼脂糖凝胶中进行电泳后,按照胶回收试剂盒操作说明回收纯化目的片段。(2)目的片段与载体连接:分别向目的片段和载体 pLC5 ciR 中加入 EcoR I 和 BamH I 酶,得到的产物连接成携带 circ_0006411 的 pLC5 ciR 表达

基金项目:浙江省医药卫生科技计划项目(2020RC130);绍兴市人民医院青年基金资助项目(2018YB02)

载体。该表达载体转化感受态细胞,阳性菌落扩增后行 PCR 测序,与 BLAST 序列比对,看是否为目的 hsa _circ_0006411 RNA 序列;并比对测序得到的环化接头位点与 circbase 中的环化位点序列,看是否完全一致,测序引物列见表 1。

3. hsa_circ_0006411 载体的验证:293T 细胞接种

于 6 孔板中, 当细胞 80% 汇合时转染, 分成 hsa_circ_0006411 载体、PLC5 - ciR 空载体及对照组分别转染 293T 细胞, 培养 6h 后换液, 更换为完全培养基, 40h 以后观察细胞 GFP 的表达, 并收集细胞, PCR 扩增检测 circ_0006411 的表达情况,以 GAPDH 为管家基因, 2 - ΔΔCT 表示 irc 0006411 的相对表达量, 引物序列见表 1。

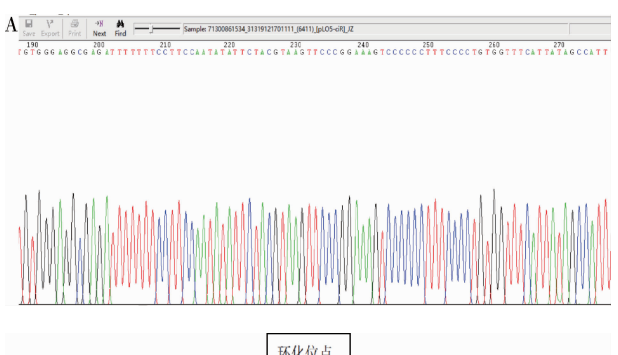
扩增产物	序列(5′→3′)	产物长度(bp)
circ_0006411 酶切引物	上游:CATTAATATTTCTTCTTCGAATTCTAATACTTTCAGGTGAAGCTCGTGTGTGGAGTG	720
	下游:AGTATGGAGTTGTTAGCTAGGATCCAGTTGTTCTTACCTTGTTGTTCAACATCTGCTT	
circ_0006411 测序引物	上游: AAAAATCTCGCCTCCCACAC	203
	下游:TTGAATCCAGGCTGACTCTC	
circ_0006411PCR 引物	上游:AGATGTTGAACAACAAGGTGAAG	125
	下游:TTGAATCCAGGCTGACTCTC	
GAPDH 引物	上游:AGAAGGCTGGGGCTCATTTG	140

表 1 各基因引物表

结 果

下游:GCAGGAGGCATTGCTGATGAT

1. 载体测序结果:构建的 PLC - hsa_circ_0006411 载体经转化感受态细胞后,可在 LA 平板上检测出阳性菌落,该菌落 PCR 产物测序结果如图 1,经 BLAST 序列比对后发现,与 GenBank 上的人 hsa_circ_0006411 序列完全一致,测序后得到的环化接头位点与 circbase 中的环化位点序列也完全一致(图1),载体构建成功。



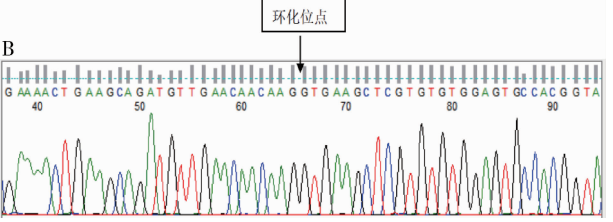


图 1 hsa_circ_0006411 部分测序图及环状位点测序图 A. hsa_circ_0006411 测序结果部分显示的图谱; B. hsa_circ_0006411 环化位点处的显示图

2. 转染 293T 细胞后 hsa_circ_0006411 表达量及 测序结果: 转染 293T 细胞后 hsa_circ_0006411 载体

组、PLC5 - ciR 空载体及对照组相对表达量分别为9947.08 ± 514.42、3.71 ± 0.71 和 1.00 ± 0.10,差异有统计学意义(图 2),其扩增曲线见图 3;显微镜下可见在 293T 细胞中的绿色荧光蛋白的表达,表明hsa_circ_0006411载体可在 293T 细胞中稳定表达circ_0006411环状基因。

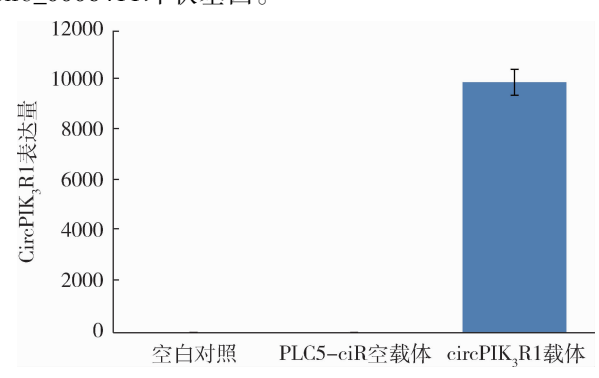


图 2 转染 293T 细胞后基因表达情况

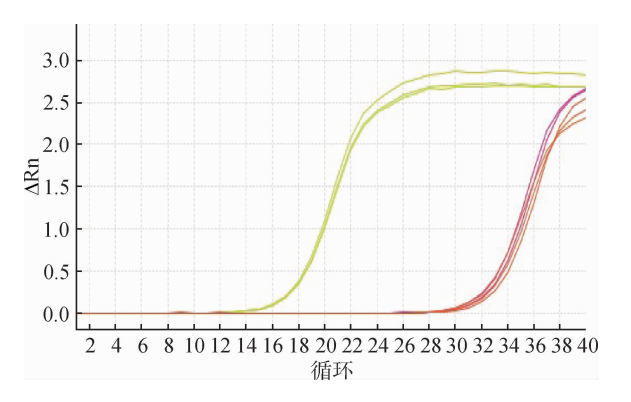


图 3 hsa_circ_0006411 PCR 扩增曲线 黄色为 GAPDH 基因,其他为 circ_0006411 基因

讨 论

环状 RNA 在 1976 年首次在病毒中被发现^[7]。 作为非编码 RNA 群体的一个重要组成部分,其形成 机制为线状 mRNA 前体物质反向剪接形成的环状结 构,其5′和3′末端通过磷酸二酯键连接,而不形成悬 空的自由末端,相对于线性结构而言,其环状结构使 得其能够更加稳定的表达存在于组织、血液及其他体 液中^[8,9]。由于其非编码特性,在生物体生命活动, 疾病发展过程中的作用一直以来都被忽视。直到近 年来发现很多非编码 RNA 的重要调控基因表达的功 能被提出,才对 circRNA 的研究重新引起重视。加上 现代生物技术和研究工具的发展,越来越多的研究表 明,circRNA 在人类生命活动过程中的重要作用,目 前而言主要体现在以下几个方面:①作为竞争性内源 RNA(ceRNA 机制,即竞争性结合 miRNA,从而解除 对与其结合的靶基因的抑制作用,来提高 miRNA 靶 基因表达)来调控特异性基因的表达[10,11];②与 RNA 结合蛋白相互作用来抑制或调控该蛋白的活 性[12,13];③通过顺式/反式作用与 RNA 直接结合来 调控 RNA 的水平[14,15]; ④可以作为模板翻译成多 肽[16~18]。上述 circRNA 的稳定性特征及诸多功能, 赋予其作为肿瘤发生、发展、诊断和治疗等多种路径 分子的可能性,科学家的确发现其与肺癌、乳腺癌、泌 尿生殖系统和消化系统等几乎所有癌种的密切关系。

本研究主要为肺癌相关的环状 RNA 的研究。前期研究发现,在肺癌组织中相对于癌旁组织低表达的 circ_0006411,其母基因为编码 PI₃K 信号通道中调节亚基 P85a 的基因 PIK₃R1,该基因在不同肿瘤中的表达高低具有明显的组织特异性,在乳腺癌、子宫内膜癌、结肠癌和非小细胞肺癌中明显低表达,其可能主要是发挥抑制 PI₃K/AKT 下游的动物雷帕素靶蛋白 (mTOR)信号转导通路来抑制肿瘤的增殖,促进凋亡的作用^[19,20]。今后拟进一步研究 circ_0006411 在非小细胞肺癌中的作用机制,需先构建该环状 RNA 的载体。本研究以慢病毒载体 PLC5 - ciR 为工具,通过基因工程的手段,成功构建了携带该环状基因的慢病毒载体,并在 293T 细胞中能显著高表达,可以用于后续实验。

参考文献

- 1 刘名倬,朱峰. 长链非编码 RNA 的研究进展[J]. 中华危重病 急救医学, 2014, 26(4): 285-288
- 2 脱磊,姜宁宁,沙莎. 长链非编码 RNA 及其与肺癌研究进展 [J]. 中华生物医学工程杂志,2018,24(2):146-148
- 3 李景林,郑汪洋,李鑫恒,等. 环状 RNA 在肿瘤中调控作用的

- 研究进展[J]. 中华病理学杂志, 2017, 46(8): 578-581
- 4 Ai XJ, Xiang L, Huang Z, et al. Overexpression of PIK₃R1 promotes hepatocellular carcinoma progression [J]. Biolo Rese, 2018, 51(1): 52
- 5 David A, Dyment, Amanda C, et al. Mutations in PIK_3R1 cause SHORT syndrome [J]. Ame J Human Genet, 2013, 93 (1): 158-66
- 6 Jesús, Vallejo Díaz, Monica, et al. The opposing roles of PIK $_3$ R1/ p85α and PIK $_3$ R2/p85β in cancer [J]. Trends Cancer, 2019, 5 (4): 233 244
- 7 Sanger HL, Klotz G, Riesner D, et al. Viroids are single stranded covalently closed circular RNA molecules existing as highly base paired rod like structures [J]. Proc Natl Acad Sci USA, 1976, 73 (11): 3852 3856
- 8 Tao Y, Li Y, Wang Y, et al. CircRNAs in cancer metabolism; a review[J]. J Hematol Oncol, 2019, 12(1): 90
- 9 Jia JH, Li W, Wang XQ, et al. A novel strategy of identifying circRNA biomarkers in cardiovascular disease by meta analysis [J]. J Cell Physiol, 2019, 234(12): 21601-21612
- 10 李乐,吴金亮,徐明,等. 环状 RNA 的生物特征及其功能研究 进展[J]. 医学研究杂志,2017,46(2):10-13,62
- 11 Katherine L, Harper E, Mcdonnell J, et al. CircRNAs: from anonymity to novel regulators of gene expression in cancer (Review) [J].
 Int J Oncol, 2019, 55(6): 1183-1193
- 12 金正, 崔京钦, 曾一平, 等. 环状 RNA circ_ 0002052 在骨肉瘤组织中的表达及临床意义[J]. 中华实用诊断与治疗杂志, 2019, 33(1): 32-34
- 13 Afzali F, Salimi M. Unearthing regulatory axes of breast cancer circRNAs networks to find novel targets and fathom pivotal mechanisms
 [J]. Interdiscipl Sci, Compu Life Sci, 2019, 11(4): 711-722
- 14 陈国林,王见雪,贾世奇,等.环状 RNA 的研究现状及其与糖 尿病的相关性[J].中华肥胖与代谢病电子杂志,2018,4(3): 173-176
- 15 Esther J, Arnaiz M, Carla M, et al. CircRNAs and cancer: Biomarkers and master regulators [J]. Semin Cancer Biol, 2019, 58: 90-99
- 16 汪桂华,浦江,沈蕾,等.循环非编码 RNA 作为乳腺癌标志物的研究进展[J].中华检验医学杂志,2019,42(1):63-66
- 17 Chen L, Zhang S, Wu J, et al. Retraction note: circRNA _ 100290 plays a role in oral cancer by functioning as a sponge of the miR 29 family[J]. Oncogene, 2019, 38(28): 5750
- 18 彭洪, 彭明沙, 冯雪雅, 等. 环状 RNA circ0000601 通过 miR 31-5p 调控 NUMB 抑制结直肠癌细胞增殖[J]. 中华内分泌外科杂志, 2019, 13(5): 429-434
- 19 Samuels Y, Wang Z, Bardelli A, et al. High frequency of mutations of the PIK₃CA gene in human cancers [J]. Science, 2004, 304: 554
- 20 邹晨,杨田,龚丹丹,等. 环状 RNA circ_0076704 下调对人胃癌细胞迁移和侵袭的影响[J]. 中华实验外科杂志,2019,36 (11):2008-2010

(收稿日期: 2020-03-27)

(修回日期: 2020-05-05)